

Un théorème de Cartier-Milnor-Moore-Quillen pour les bigèbres dendriformes et les algèbres braces

Frédéric Chapoton

Résumé

Le théorème classique de Cartier-Milnor-Moore-Quillen donne une équivalence entre la catégorie des bigèbres cocommutatives connexes et la catégorie des algèbres de Lie. On définit ici une équivalence analogue entre la catégorie des bigèbres dendriformes connexes et la catégorie des algèbres braces. Cette équivalence est donnée par le foncteur “Prim” des éléments primitifs d’un bigèbre dendriforme et le foncteur “algèbre dendriforme enveloppante” d’une algèbre brace.

Classification AMS 2000 : 18D50, 16W30, 17B35

Mots-Clés : algèbre dendriforme, algèbre brace, cogèbre

Key-Words : dendriform algebra, brace algebra, coalgebra

Introduction

On étudie ici un analogue du couple formé par une algèbre de Lie et son algèbre associative enveloppante. Le rôle de la notion d’algèbre associative est joué par celle d’algèbre dendriforme, introduite par Loday [12, 13, 14] comme structure duale au sens des opérades de celle de digèbre. Le rôle de la notion d’algèbre de Lie est tenu par les algèbres braces, apparues d’abord dans les articles de Kadeishvili [9] et Getzler [8] sur l’homologie des algèbres A_∞ , et plus récemment dans les travaux sur le complexe de Hochschild et la conjecture de Deligne, notamment ceux de Kontsevich et Soibelman [11] et de Gerstenhaber et Voronov [7, 6]. La notion d’algèbre pré-Lie issue des travaux de Gerstenhaber [5] et Vinberg [21] joue aussi un rôle dans la suite.

On réinterprète en termes d’opérades des résultats de Maria Ronco qui montrent qu’une algèbre dendriforme est en particulier une algèbre brace [20], en introduisant l’opérade des algèbres braces et un morphisme d’opérades dans celle des algèbres dendriformes.

On introduit une notion de bigèbre dendriforme, voisine de la notion d’algèbre de Hopf dendriforme introduite indépendamment par Ronco dans [20], mais qui en diffère par la présence d’une unité. La présence de cette unité offre des avantages techniques, dont celui de simplifier certaines démonstrations.

On définit ensuite l’algèbre dendriforme enveloppante d’une algèbre brace B , notée $\tilde{U}(B)$. Par analogie avec le fait que l’algèbre associative envelop-

pante d'une algèbre de Lie est une bigèbre, on montre que l'algèbre dendri-
forme enveloppante d'une algèbre brace est une bigèbre dendriforme.

Si W est une bigèbre dendriforme, il est démontré dans [20] que l'ensem-
ble $\text{Prim}(W)$ des éléments primitifs pour la structure de cogèbre sous-jacente
est une sous-algèbre brace de W .

On montre que, si B est une algèbre brace, alors $B = \text{Prim}\tilde{\mathcal{U}}(B)$ et que,
réciproquement, si D est une bigèbre dendriforme connexe (comme cogèbre),
alors $D \simeq \tilde{\mathcal{U}}(\text{Prim}(D))$. On obtient ainsi une équivalence de catégories
qui forme un analogue dendriforme/brace du théorème de Cartier-Milnor-
Moore-Quillen.

Le plan de l'article est le suivant :

La première partie contient des rappels sur les différents types d'algèbres
utilisés et sur certaines relations entre eux.

Dans la seconde partie, on introduit l'opérade Brace qui décrit les algèbres
braces en termes d'arbres enracinés plans, on en donne une présentation par
générateurs et relations et on définit un morphisme d'opérades de Brace dans
Dend. On retrouve ainsi le fait que toute algèbre dendriforme est une algèbre
brace, établi par [20]. On démontre enfin deux propositions techniques qui
seront utilisées dans la suite de l'article.

La troisième partie est consacrée à l'introduction des notions d'algèbre
dendriforme unitaire et de bigèbre dendriforme. On rappelle que, d'après
Ronco, les éléments primitifs d'une bigèbre dendriforme forment une sous-
algèbre brace, puis on énonce deux lemmes sur les bigèbres dendriformes, qui
joueront un rôle important dans la suite. On montre ensuite que l'algèbre
dendriforme libre est une bigèbre dendriforme, pour le coproduit introduit
par Loday et Ronco dans [15].

La quatrième partie contient des énoncés généraux sur les suites exactes
courtes d'opérades, les idéaux d'opérades et les adjoints des foncteurs d'ou-
bli entre catégories d'algèbres induits par les morphismes d'opérades, pour
lesquels on n'a pas trouvé de références dans la littérature.

Dans la cinquième partie, on définit l'algèbre dendriforme enveloppante
d'une algèbre brace L , et l'on montre que c'est une bigèbre dendriforme,
au sens de la seconde partie. On applique cette construction aux cas des
algèbres braces libres et des algèbres braces de produits nuls.

Enfin, dans la sixième partie, on montre que le foncteur *algèbre dendri-
forme enveloppante* $\tilde{\mathcal{U}}$ établit une équivalence de catégories entre la catégorie
des algèbres braces et celle des bigèbres dendriformes connexes, dont le quasi-
inverse (inverse au sens des équivalences de catégories) est le foncteur Prim
des éléments primitifs.

1 Rappels sur les algèbres dendriformes et pré-Lie

On rappelle ici, pour la commodité du lecteur et pour les notations, la définition des différents types d'algèbres utilisés. Les notions d'algèbre dendriforme et d'algèbre de Leibniz duale ont été introduites et développées par Loday, voir [12, 13, 14]. Les algèbres pré-Lie ont été introduites indépendamment par Gerstenhaber [5] et Vinberg [21]. On renvoie aussi à [4] pour des résultats sur l'opéade correspondante.

Une algèbre dendriforme est un espace vectoriel W muni de deux produits notés \prec et \succ de $W \otimes W$ dans W tels que

$$(x \prec y) \prec z = x \prec (y \prec z) + x \prec (y \succ z), \quad (1)$$

$$(x \succ y) \prec z = x \succ (y \prec z), \quad (2)$$

$$x \succ (y \succ z) = (x \succ y) \succ z + (x \prec y) \succ z. \quad (3)$$

On note $D(V)$ l'algèbre dendriforme libre sur un espace vectoriel V , voir [14, 2.4] pour sa définition en termes de l'opéade Dend. Si (W, \prec, \succ) est une algèbre dendriforme, on note $*$ le produit défini par $x * y = x \prec y + x \succ y$. C'est un produit associatif. On note W_{As} l'algèbre associative $(W, *)$. Cette construction définit un morphisme d'opéades $\text{As} \rightarrow \text{Dend}$.

Une algèbre pré-Lie est un espace vectoriel W muni d'une opération \circ de $W \otimes W$ dans W telle que

$$(x \circ y) \circ z - x \circ (y \circ z) = (x \circ z) \circ y - x \circ (z \circ y). \quad (4)$$

On note $PL(V)$ l'algèbre pré-Lie libre sur un espace vectoriel V , voir [4] pour sa définition en termes de l'opéade PreLie. Si (W, \circ) est une algèbre pré-Lie, on note $[,]$ le produit défini par $[x, y] = x \circ y - y \circ x$. C'est un crochet de Lie. On note W_{Lie} l'algèbre de Lie $(W, [,])$. Cette construction définit un morphisme d'opéades $\text{Lie} \rightarrow \text{PreLie}$.

Une algèbre de Leibniz duale ou Zin-algèbre est un espace vectoriel W muni d'un produit noté \cdot de $W \otimes W$ dans W tel que

$$(x \cdot y) \cdot z = x \cdot (y \cdot z) + x \cdot (z \cdot y). \quad (5)$$

On note $Z(V)$ la Zin-algèbre libre sur un espace vectoriel V , voir [14, 7.1] pour sa définition en termes de l'opéade Zin. Si (W, \cdot) est une Zin-algèbre, on note $*$ le produit défini par $x * y = x \cdot y + y \cdot x$. C'est un produit associatif et commutatif. On note W_{Com} l'algèbre associative commutative $(W, *)$. Cette construction définit un morphisme d'opéades $\text{Com} \rightarrow \text{Zin}$.

Si (W, \prec, \succ) est une algèbre dendriforme, on note \circ le produit défini par $x \circ y = x \prec y - y \succ x$. C'est un produit pré-Lie. On note W_{PreLie}

l'algèbre pré-Lie (W, \circ) . Cette construction définit un morphisme d'opéades $\text{PreLie} \rightarrow \text{Dend}$.

En posant $y \succ x = x \prec y = x \cdot y$, on peut considérer une Zin-algèbre W comme une algèbre dendriforme, qui est symétrique au sens où $x \prec y = y \succ x$, pour tous x, y dans W . Ceci définit un morphisme d'opéades $\text{Dend} \rightarrow \text{Zin}$.

Réciproquement, on observe que toute algèbre dendriforme symétrique au sens ci-dessus provient d'une Zin-algèbre par cette construction. Il y a donc équivalence entre la notion d'algèbre dendriforme symétrique et celle de Zin-algèbre. La condition de symétrie entraîne la commutativité de l'algèbre associative W_{As} .

On rappelle les morphismes d'opéades bien connus $\text{Lie} \rightarrow \text{As} \rightarrow \text{Com}$. Les foncteurs correspondants entre catégories d'algèbres consistent respectivement à associer à une algèbre associative l'algèbre de Lie dont le crochet est le commutateur du produit associatif et à considérer une algèbre commutative comme une algèbre associative.

En résumé, on a le diagramme suivant de morphismes d'opéades :

$$\begin{array}{ccccc}
 \text{Zin} & \longleftarrow & \text{Dend} & \longleftarrow & \text{PreLie} \\
 \uparrow & & \uparrow & & \uparrow \\
 \text{Com} & \longleftarrow & \text{As} & \longleftarrow & \text{Lie} .
 \end{array} \tag{6}$$

On vérifie aisément qu'il est commutatif.

Si $\mathcal{P} = (\mathcal{P}(k))_{k \geq 1}$ est une opérade telle que $\mathcal{P}(1)$ soit engendré par l'identité, alors il existe un morphisme naturel de \mathcal{P} dans l'opérade triviale (réduite à l'identité). On note $\mathcal{P}_+ = (\mathcal{P}(k))_{k \geq 2}$ le noyau de ce morphisme d'augmentation.

Les deux lignes du diagramme (6) sont exactes au sens suivant : on a $\text{Com} \simeq \text{As} / \langle \text{Lie}_+ \rangle$ et $\text{Zin} \simeq \text{Dend} / \langle \text{PreLie}_+ \rangle$, où $\langle \rangle$ désigne l'idéal engendré. Ceci signifie que les algèbres commutatives sont exactement les algèbres associatives dont le crochet de Lie sous-jacent est nul. La proposition similaire pour les Zin-algèbres est l'identification décrite plus haut avec les algèbres dendriformes symétriques.

Si \mathcal{P} est une opérade, on notera $\mathcal{P} - \text{Alg}$ la catégorie des \mathcal{P} -algèbres.

2 L'opérade des algèbres braces

On définit une opérade APE sur les arbres enracinés plans, qui a été implicitement introduite par Kontsevich et Soibelman [10, 11]. On en donne

ensuite une présentation par générateurs et relations qui permet de l'identifier avec l'opérade Brace des algèbres braces utilisées par Gerstenhaber et Voronov [6, 7]. Cette description en termes d'arbres présente l'avantage de rendre visuelle la combinatoire des produits braces. Les produits braces ont été généralisés par Akman [2, 3] en des produits multi-braces, dont l'éventuelle relation avec ce qui suit reste à clarifier. On montre que le morphisme $\text{PreLie} \rightarrow \text{Dend}$ se factorise via l'opérade Brace, le morphisme $\text{Brace} \rightarrow \text{Dend}$ étant une interprétation en termes d'opérades des résultats de [20]. La section se termine par des propositions sur les idéaux de Dend engendrés par les images de Brace_+ et PreLie_+ .

2.1 Définition

Soit I un ensemble fini non vide. On appelle arbre enraciné plan sur I la donnée d'un graphe connexe sans boucles sur l'ensemble de sommets I , muni d'un sommet distingué appelé la racine et d'un plongement dans le plan. On dessine les arbres avec la racine en bas et on considère les arêtes comme orientées vers la racine.

Supposons l'arbre T dessiné dans le demi-disque supérieur ouvert

$$\mathcal{D}_+ = \{(x, y) \in \mathbb{R}^2 \mid y > 0 \text{ et } x^2 + y^2 < 1\},$$

sauf la racine placée au point $x = y = 0$. On appelle angle de T une paire (s, α) où s est un sommet de T et α une composante connexe de $B_\epsilon(s) \cap (\mathcal{D}_+ \setminus T)$ où $B_\epsilon(s)$ est un petit disque de centre s . On note $\text{Angles}(T)$ l'ensemble des angles de T . On munit naturellement $\text{Angles}(T)$ d'un ordre total de gauche à droite, de la façon suivante. En considérant un angle comme une direction issue d'un sommet, on peut tracer un chemin de chaque angle vers un point du cercle unité. On peut aussi supposer que ces chemins ne se coupent pas. On obtient alors un point du demi-cercle associé à chaque angle. L'ordre de ces points de gauche à droite ne dépend pas des chemins choisis pourvu qu'ils ne se coupent pas. Ceci définit l'ordre total voulu, voir la figure 1.

Cette notion d'angle est due à Kontsevich [10], [11, p. 29-30], de même que la composition de l'opérade qui suit.

On note $\mathcal{APE}(I)$ l'ensemble des arbres enracinés plans sur I et $\text{APE}(I)$ le \mathbb{Z} -module libre sur $\mathcal{APE}(I)$. Soit $T \in \mathcal{APE}(I)$. Si j est un sommet de T , on note $\text{Entr}(T, j)$ l'ensemble totalement ordonné de gauche à droite des arêtes entrantes en j . On peut alors considérer l'ensemble des fonctions croissantes au sens large de $\text{Entr}(T, j)$ dans $\text{Angles}(S)$.

On définit une opérade APE sur les modules $\text{APE}(I)$. La composition d'un arbre $S \in \mathcal{APE}(I)$ au sommet j d'un arbre $T \in \mathcal{APE}(J)$ est définie par

$$T \circ_j S = \sum_{f: \text{Entr}(T, j) \rightarrow \text{Angles}(S)} T \circ_j^f S, \quad (7)$$

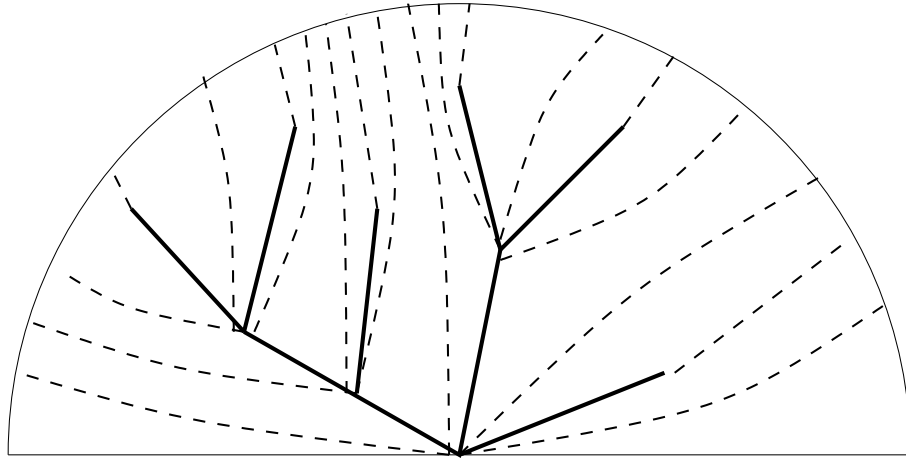


FIG. 1: Angles d'un arbre plan

où f est une application croissante au sens large et $T \circ_j^f S$ est l'arbre obtenu par substitution de l'arbre S au sommet j de T , les arêtes de T entrantes dans j étant greffées sur S selon l'application f . On donne un exemple dans la figure 2, avec 11 angles pour S et 2 arêtes entrantes dans le sommet 1 de T , ce qui donne 66 termes dans la composition.

Proposition 1 *La composition ci-dessus définit une opérade APE.*

PREUVE : On vérifie aisément les axiomes d'unité, d'associativité et d'équivariance. \square

2.2 Présentation

On montre maintenant que l'opérade APE admet une présentation par générateurs et relations qui permet de l'identifier à l'opérade des algèbres braces.

On note $\text{Corl}_n(1; 2, \dots, n+1)$ ou simplement Corl_n la corolle à n feuilles indexée par $\{1, \dots, n+1\}$, la racine portant l'indice 1, les feuilles les indices $2, \dots, n+1$ dans l'ordre de gauche à droite. On va prendre des éléments C_n correspondant à ces corolles comme générateurs. Les relations entre ces corolles sont celles entre les opérations $x_1\{x_2, \dots, x_{n+1}\}$ des algèbres braces, voir [7, Eq. (6)] par exemple. Ces relations expriment une composition de corolles à la racine comme une somme de compositions multiples aux feuilles.

Proposition 2 *L'opérade APE est isomorphe au quotient de l'opérade libre sur la famille de générateurs C_n en $n+1$ variables pour $n \geq 1$ (on note $\{x_1 \mid x_2, \dots, x_{n+1}\}$ les opérations correspondantes) par les relations*

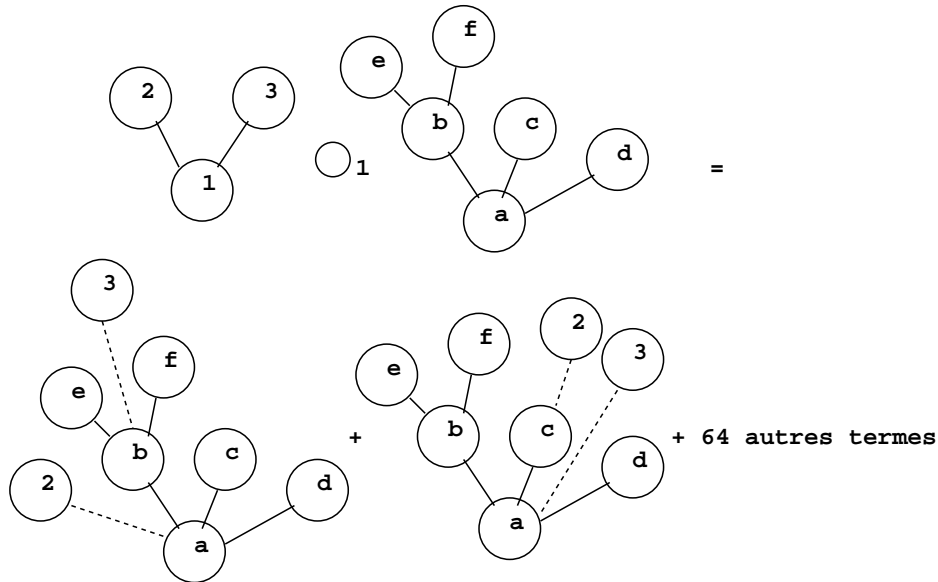


FIG. 2: Quelques termes d'une composition

qui s'expriment en termes d'opérations de la façon suivante :

$$\begin{aligned} & \{ \{ z \mid x_1, \dots, x_n \} \mid y_1, \dots, y_m \} = \\ & \sum \{ z \mid Y_0, \{x_1 \mid Y_1\}, Y_2, \{x_2 \mid Y_3\}, Y_4, \dots, Y_{2n-2}, \{x_n \mid Y_{2n-1}\}, Y_{2n} \}, \quad (8) \end{aligned}$$

où la somme porte sur les partitions de l'ensemble ordonné $\{y_1, \dots, y_m\}$ en intervalles successifs éventuellement vides $Y_0 \sqcup Y_1 \sqcup \dots \sqcup Y_{2n}$.

PREUVE : On note *Brace* l'opérade quotient considérée. Elle décrit exactement les algèbres braces au sens de [7]. On définit un morphisme d'opérades κ de l'opérade libre sur les C_n dans *APE* en posant $\kappa(C_n) = \text{Corl}_n$. Comme les corolles vérifient les relations (8), le morphisme κ passe au quotient et définit un morphisme d'opérades $\beta : \text{Brace} \rightarrow \text{APE}$.

La surjectivité de κ est claire, car tout arbre s'obtient par composition de corolles aux feuilles. Le morphisme β est donc surjectif.

D'autre part, on déduit des relations (8) que l'on peut définir un morphisme surjectif de \mathbb{Z} -modules γ de *APE*(n) sur *Brace*(n). La composée $\beta \circ \gamma$ est surjective, donc un isomorphisme de \mathbb{Z} -modules libres. Par conséquent γ est injective, donc bijective et β est un isomorphisme d'opérades. \square

Cette proposition permet d'identifier les opérades *APE* et *Brace*. On appelle algèbres braces les *Brace*-algèbres. On note $B(V)$ l'algèbre brace libre sur un espace vectoriel V .

2.3 Un morphisme de Brace dans Dend

On définit dans cette section un morphisme d'opérades de Brace dans Dend.

On définit par récurrence des éléments \nearrow_n et \searrow^n de Dend :

$$\nearrow_1(x_1) = x_1, \nearrow_n(x_1, \dots, x_n) = x_1 \prec \nearrow_{n-1}(x_2, \dots, x_n), \quad (9)$$

et

$$\searrow^1(x_1) = x_1, \searrow^{n+1}(x_1, \dots, x_{n+1}) = \searrow^n(x_1, \dots, x_n) \succ x_{n+1}. \quad (10)$$

Par la suite, on notera simplement \nearrow et \searrow en omettant le nombre d'arguments lorsque cela ne prête pas à confusion.

On a alors la proposition suivante :

Proposition 3 *Il existe un unique morphisme d'opérades ψ de Brace dans Dend tel que pour tout n , $\psi(\text{Corl}_n) \in \text{Dend}(n+1)$ soit l'opération qui à x_1, \dots, x_{n+1} associe*

$$\sum_{i=1}^{n+1} (-1)^i \nearrow(x_2, \dots, x_i) \succ x_1 \prec \searrow(x_{i+1}, \dots, x_{n+1}), \quad (11)$$

expression sans ambiguïté par la formule (2), et où on convient que les termes pour $i = 1$ et $i = n + 1$ sont respectivement

$$x_1 \prec \searrow(x_2, \dots, x_{n+1}) \text{ et } \nearrow(x_2, \dots, x_{n+1}) \succ x_1. \quad (12)$$

PREUVE : L'unicité est claire puisque que les opérations Corl_n engendrent Brace.

On peut prouver la compatibilité aux relations (8) en adaptant la preuve du théorème 3.4 de [20]. On peut aussi en donner une preuve légèrement différente, qu'on ne détaillera pas ici, basée sur la description de l'opérade Dend en termes d'arbres binaires plans [14]. \square

2.4 Un morphisme de PreLie dans Brace

On définit dans cette section un morphisme de PreLie dans Brace. On renvoie le lecteur à [4] pour la description de l'opérade PreLie en termes d'arbres non-plans enracinés et la définition précise de cette notion.

Proposition 4 *Il existe un unique morphisme d'opérades ϕ de PreLie dans Brace tel que*

$$\phi(x_1 \circ x_2) = \{x_1 \mid x_2\}. \quad (13)$$

Ce morphisme est donné par la symétrisation des arbres : si T est un arbre enraciné non-plan indexé par un ensemble I , $\phi(T)$ est la somme des arbres enracinés plans isomorphes à T comme arbres enracinés non-plans.

PREUVE : L'unicité résulte du fait que PreLie est engendrée par l'opération $x_1 \circ x_2$. L'existence est un calcul immédiat avec la relation qui définit PreLie. Pour la seconde assertion, il suffit alors de vérifier que l'application de symétrisation définit bien un morphisme d'opérades, ce qui est clair par la forme des compositions en termes d'arbres dans les opérades PreLie et Brace, voir section 2.1 et [4]. \square

Il est clair que le morphisme composé $\psi \circ \phi$ coïncide avec le morphisme de PreLie \rightarrow Dend défini dans la première section.

2.5 Idéal engendré par l'image de Brace_+ dans Dend

La proposition suivante permet d'identifier l'opérade quotient de Dend par l'idéal engendré par $\psi(\text{Brace}_+)$.

Proposition 5 *Les images de PreLie_+ et de Brace_+ dans Dend engendrent le même idéal. L'opérade quotient de Dend par cet idéal est l'opérade Zin.*

PREUVE : On a déjà vu dans la section 1 que Zin est le quotient de Dend par l'idéal engendré par PreLie_+ . Il reste donc à montrer la première assertion.

Comme ϕ fait de PreLie une sous-opérade de Brace, on a clairement une inclusion $\langle \psi \circ \phi(\text{PreLie}_+) \rangle \subset \langle \psi(\text{Brace}_+) \rangle$. Pour montrer la réciproque, il suffit de montrer que $\psi(\text{Corl}_n)$ appartient à $\langle \psi \circ \phi(\text{PreLie}) \rangle$, pour tout $n \geq 1$.

On rappelle que $\psi(\text{Corl}_n)$ est, par définition, l'opération qui à x_1, \dots, x_{n+1} associe

$$- x_1 \prec \searrow (x_2, \dots, x_{n+1}) \succ x_1 + (-1)^{n+1} \nearrow (x_2, \dots, x_{n+1}) \\ + \sum_{i=2}^n (-1)^i \nearrow (x_2, \dots, x_i) \succ x_1 \prec \searrow (x_{i+1}, \dots, x_{n+1}). \quad (14)$$

Pour chaque terme de la somme de $i = 2$ à $i = n$, on utilise la relation

$$\nearrow (x_2, \dots, x_i) \succ x_1 \prec \searrow (x_{i+1}, \dots, x_{n+1}) \equiv \\ (\nearrow (x_2, \dots, x_i) * \searrow (x_{i+1}, \dots, x_{n+1})) \succ x_1,$$

modulo $\langle \psi \circ \phi(\text{PreLie}) \rangle$. On réécrit aussi le terme correspondant à $i = 1$:

$$x_1 \prec \searrow (x_2, \dots, x_{n+1}) \equiv \searrow (x_2, \dots, x_{n+1}) \succ x_1,$$

modulo $\langle \psi \circ \phi(\text{PreLie}) \rangle$. On obtient donc au total

$$- \searrow (x_2, \dots, x_{n+1}) \succ x_1 + (-1)^{n+1} \nearrow (x_2, \dots, x_{n+1}) \succ x_1 \\ + \sum_{i=2}^n (-1)^i (\nearrow (x_2, \dots, x_i) * \searrow (x_{i+1}, \dots, x_{n+1})) \succ x_1,$$

c'est-à-dire une expression de la forme $Z \succ x_1$, où

$$Z = - \searrow (x_2, \dots, x_{n+1}) + (-1)^{n+1} \nearrow (x_2, \dots, x_{n+1}) \\ + \sum_{i=2}^n (-1)^i (\nearrow (x_2, \dots, x_i) * \searrow (x_{i+1}, \dots, x_{n+1})).$$

Le lemme 2.6 de [20] dit exactement que Z est nul dans Dend, ce qui termine la démonstration. \square

2.6 Idéal à gauche engendré par l'image de Brace

On montre dans cette section que l'idéal à gauche (au sens défini ci-dessous) engendré par l'image de Brace_+ dans Dend est un idéal.

On rappelle qu'un \mathbb{S} -module E est une collection de \mathfrak{S}_n -modules $E(n)$ pour $n \geq 1$. Si $e_m \in \mathcal{P}(m)$, $f_n \in \mathcal{P}(n)$ et $i \in \{1, \dots, m\}$, on note $e_m \circ_i f_n$ la composition de f_n à la place i de e_m . On renvoie le lecteur peu familier avec les opérades à la référence standard [16].

Définition 1 *Un idéal à gauche dans une opérade \mathcal{P} est un sous- \mathbb{S} -module \mathcal{J} tel que pour tous $f_n \in \mathcal{J}(n)$, $e_m \in \mathcal{P}(m)$ et $i \in \{1, \dots, m\}$, on ait $e_m \circ_i f_n \in \mathcal{J}$.*

On peut rapprocher cette notion de celle d'idéal à gauche dans un anneau associatif. En particulier, un idéal est aussi un idéal à gauche.

Voici un critère simple pour montrer qu'un idéal à gauche est un idéal. La démonstration est une conséquence facile des axiomes d'opérades et est laissée au lecteur.

Lemme 1 *Soient \mathcal{P} une opérade et \mathcal{J} un idéal à gauche de \mathcal{P} . Soient E un système de générateurs de \mathcal{P} comme opérade et F un système de générateurs de \mathcal{J} comme idéal à gauche. Alors \mathcal{J} coïncide avec l'idéal engendré par F si et seulement si, pour tout e_n dans $E(n)$, tout f_m dans $F(m)$ et tout $i \in \{1, \dots, m\}$, on a $f_m \circ_i e_n \in \mathcal{J}$.*

Soit \mathcal{J} l'idéal à gauche engendré par l'image de Brace_+ dans Dend. On aura besoin de deux lemmes préliminaires sur le \mathbb{S} -module quotient de Dend par \mathcal{J} .

Lemme 2 *Pour tout entier non nul n , on a dans $\text{Dend}(n)$ modulo \mathcal{J} ,*

$$\nearrow (x_n, \dots, x_1) \equiv \searrow (x_1, \dots, x_n). \quad (15)$$

PREUVE : Par récurrence sur n . La formule est vraie pour $n = 1$. Soit maintenant $n \geq 2$ fixé et supposons la formule vérifiée pour tous les entiers strictement inférieurs à n . On a $\nearrow (x_n, \dots, x_1) \equiv x_n \prec \nearrow (x_{n-1}, \dots, x_1)$,

donc par hypothèse de récurrence, $\nearrow(x_n, \dots, x_1) \equiv x_n \prec \searrow(x_1, \dots, x_{n-1})$. Ceci se réécrit modulo \mathcal{J} , en ajoutant $\psi(\text{Corl}_{n-1}(x_n; x_1, \dots, x_{n-1}))$,

$$\sum_{i=1}^{n-1} (-1)^i \nearrow(x_1, \dots, x_i) \succ x_n \prec \searrow(x_{i+1}, \dots, x_{n-1}). \quad (16)$$

On va utiliser le sous-lemme suivant dans une seconde récurrence décroissante sur k .

Sous-lemme 1 *Pour $k \geq 2$, modulo \mathcal{J} , on a*

$$\begin{aligned} \sum_{i=1}^k (-1)^i \nearrow(x_1, \dots, x_i) \succ z \prec \searrow(x_{i+1}, \dots, x_k) \equiv \\ \sum_{i=1}^{k-1} (-1)^i \nearrow(y_1, \dots, y_i) \succ z \prec \searrow(y_{i+1}, \dots, y_{k-1}). \end{aligned} \quad (17)$$

où $y_1 = x_1 \succ x_2$ et $y_i = x_{i+1}$ pour $2 \leq i \leq k-1$.

PREUVE DU SOUS-LEMME : La différence entre les deux membres est

$$x_1 \succ (\psi(\text{Corl}_{k-1}(z; x_2, \dots, x_k))),$$

qui appartient bien à \mathcal{J} . C.Q.F.D.

Par application répétée du sous-lemme à la formule (16), on la réécrit $\searrow(x_1, \dots, x_n)$, ce qui termine la démonstration du lemme. \square

On note $\text{Pli}(p, q)$ l'ensemble des permutations de $\{1, \dots, p+q\}$ telles que $\sigma(p) < \dots < \sigma(1)$ et $\sigma(p+1) < \dots < \sigma(p+q)$. Ces permutations sont des battages où on a renversé l'ordre d'une des deux parties avant de battre.

Le lemme suivant permet de réécrire toute opération de Dend modulo \mathcal{J} comme une somme sur certains ensembles de battages.

Lemme 3 *Pour tous entiers strictement positifs p, q , on a modulo \mathcal{J} ,*

$$\searrow(x_p, \dots, x_1) \succ z \prec \nearrow(x_{p+q}, \dots, x_{p+1}) \equiv \sum_{\sigma \in \text{Pli}(p, q)} \searrow(x_{\sigma(1)}, \dots, x_{\sigma(p+q)}, z).$$

PREUVE : Par récurrence sur le couple (p, q) . La formule est vraie pour $(p, q) = (1, 1)$. Par le lemme 2, on a, modulo \mathcal{J} ,

$$z \prec \nearrow(x_{p+q}, \dots, x_{p+1}) \equiv \searrow(x_{p+1}, \dots, x_{p+q}) \succ z \equiv \nearrow(x_{p+q}, \dots, x_{p+1}) \succ z.$$

On en déduit que

$$\begin{aligned} \searrow(x_p, \dots, x_1) \succ z \prec \nearrow(x_{p+q}, \dots, x_{p+1}) \equiv \\ (\searrow(x_p, \dots, x_2) \succ x_1 \prec \nearrow(x_{p+q}, \dots, x_{p+1})) \succ z \\ + (\searrow(x_p, \dots, x_1) \succ x_{p+q} \prec \nearrow(x_{p+q-1}, \dots, x_{p+1})) \succ z. \end{aligned}$$

Ceci permet de conclure sans difficulté. □

On va maintenant démontrer la proposition suivante :

Proposition 6 *L'idéal à gauche \mathcal{J} engendré par l'image de Brace_+ dans Dend est un idéal.*

PREUVE : D'après le lemme 1, et en tenant compte de l'automorphisme de Dend donné par la symétrie des arbres plans, il suffit de vérifier que $\psi(\text{Corl}_n) \circ_j \prec$ est dans \mathcal{J} pour tout j . On distingue deux cas, selon que la composition est dans la racine ou dans une feuille de la corolle, c'est-à-dire $j = 1$ ou $j > 1$.

On traite d'abord le cas de la composition à la racine, c'est-à-dire

$$\psi(\text{Corl}_n(z; x_1, \dots, x_n)) \circ_z (w \prec t), \quad (18)$$

soit encore

$$\sum_{i=0}^n (-1)^i \nearrow (x_1, \dots, x_i) \succ ((w \prec t) \prec \searrow (x_{i+1}, \dots, x_n)), \quad (19)$$

ce qui est égal modulo \mathcal{J} , par application du lemme 2, à

$$\sum_{i=0}^n (-1)^i \searrow (x_1, \dots, x_i) \succ (t \succ w \prec \nearrow (x_{i+1}, \dots, x_n)). \quad (20)$$

On utilise deux fois le lemme 3 pour réécrire ceci comme une somme sur i et sur un ensemble de battages. Chaque battage s'obtient alors pour deux indices i successifs, donc contribue par zéro à la somme, qui est donc nulle.

On traite de façon similaire le cas de la composition dans une feuille, en se ramenant à une somme de battage à l'aide des lemmes 2 et 3. □

3 Bigèbres dendriformes

On se place dans cette section et dans toute la suite sur un corps \mathbb{K} . On définit des notions d'algèbre dendriforme unitaire et de bigèbre dendriforme. Après avoir rappelé que, d'après [20], les éléments primitifs d'une bigèbre dendriforme D forment une sous-algèbre brace de D_{Brace} , on énonce quelques lemmes sur les bigèbres dendriformes qui seront utiles dans la suite. On donne une première famille d'exemples de bigèbres dendriformes : les algèbres dendriformes libres.

3.1 Définitions

On introduit d'abord une notion d'algèbre dendriforme unitaire, voir [14, p. 32, (5.5.4)]. Je remercie Maria Ronco pour m'avoir signalé une erreur importante dans une version précédente de cette définition.

Définition 2 On appelle algèbre dendriforme unitaire un espace vectoriel W muni d'une décomposition $W = \mathbb{K} \cdot 1 \oplus V$ et de deux applications $\prec, \succ: V \otimes W + W \otimes V \rightarrow V$ telles que (V, \prec, \succ) soit une algèbre dendriforme et que, pour tout $x \in V$, on ait

$$\begin{aligned} 1 \prec x &= x \succ 1 = 0, \\ x \prec 1 &= 1 \succ x = x. \end{aligned} \tag{21}$$

Si D est une algèbre dendriforme, alors $\tilde{D} := \mathbb{K} \cdot 1 \oplus D$ est naturellement munie d'une structure d'algèbre dendriforme unitaire. On associe une algèbre associative unitaire augmentée à une algèbre dendriforme unitaire en posant $x * y = x \prec y + x \succ y$ et $1 * 1 = 1$.

A l'aide de la remarque qui identifie les Zin-algèbres aux algèbres dendriformes symétriques, on définit de manière analogue la notion de Zin-algèbre unitaire.

On appelle algèbre dendriforme unitaire filtrée (resp. graduée) une algèbre dendriforme unitaire W munie d'une filtration (resp. d'une graduation) $(W_n)_{n \geq 0}$ telle que $1 \in W_0$ et si $x \in W_p$ et $y \in W_q$, alors $x \prec y \in W_{p+q}$ et $x \succ y \in W_{p+q}$. L'espace gradué associé à une algèbre dendriforme unitaire filtrée est naturellement une algèbre dendriforme unitaire graduée.

Si W est une algèbre dendriforme unitaire, on note W^+ le second facteur de la décomposition $W = \mathbb{K} \cdot 1 \oplus W^+$. Un morphisme d'algèbres dendriformes unitaires $f : D_1 \rightarrow D_2$ est une application qui respecte les décompositions et telle que $f(1) = 1$ et $f : D_1^+ \rightarrow D_2^+$ soit un morphisme dendriforme. Ceci définit la catégorie des algèbres dendriformes unitaires, notée $\text{Dend} - \text{Alg} - u$. Le lemme suivant est évident.

Lemme 4 Le foncteur $D \mapsto \tilde{D}$ de $\text{Dend} - \text{Alg}$ dans $\text{Dend} - \text{Alg} - u$ est une équivalence de catégories, de quasi-inverse $W \mapsto W^+$.

On introduit maintenant une notion de bigèbre dendriforme. Cette définition est voisine de celle donnée par Ronco dans [20] sous le nom d'algèbre de Hopf dendriforme. La différence réside dans la présence d'une unité, qui simplifie quelque peu la forme des axiomes et de certaines démonstrations, au prix d'un certain abus de notation.

Définition 3 On appelle bigèbre dendriforme une algèbre dendriforme unitaire $W = \mathbb{K} \cdot 1 \oplus V$ munie d'un coproduit coassociatif $\Delta : W \rightarrow W \otimes W$ vérifiant les conditions suivantes :

- $\Delta(1) = 1 \otimes 1$,
- la projection sur $\mathbb{K} \cdot 1$ parallèlement à V est une coïunité.

Ces conditions entraînent, pour $v \in V$, $\Delta(v) \in 1 \otimes v + v \otimes 1 + V \otimes V$.

- Le coproduit est compatible aux produits dendriformes, au sens suivant : pour tous $x, y \in V$, avec la notation de Sweedler,

$$\Delta(x \succ y) = (x_{(1)} * y_{(1)}) \otimes (x_{(2)} \succ y_{(2)}) - (x * y) \otimes (1 \succ 1) + (x \succ y) \otimes 1, \quad (22)$$

et

$$\Delta(x \prec y) = (x_{(1)} * y_{(1)}) \otimes (x_{(2)} \prec y_{(2)}) - (x * y) \otimes (1 \prec 1) + (x \prec y) \otimes 1, \quad (23)$$

où la soustraction des termes en $1 \succ 1$ et $1 \prec 1$ est une notation commode pour signifier que dans la sommation de Sweedler, on doit omettre l'unique terme correspondant à $x_{(2)} = y_{(2)} = 1$.

On utilisera par la suite sans davantage de commentaires cette convention sur les termes non-existants en $1 \succ 1$ et $1 \prec 1$.

Si $(W, \prec, \succ, \Delta)$ est une bigèbre dendriforme, alors W est en particulier une bigèbre pour le produit associatif $*$ et le coproduit Δ .

On appelle bigèbre dendriforme filtrée (resp. graduée) une bigèbre dendriforme munie d'une filtration (resp. d'une graduation) qui en fait à la fois une algèbre dendriforme unitaire filtrée (resp. graduée) et une cogèbre filtrée (resp. graduée). L'espace gradué associé à une bigèbre dendriforme filtrée est naturellement une bigèbre dendriforme graduée.

3.2 Éléments primitifs d'une bigèbre dendriforme

Si C est une cogèbre, on note $\text{Prim}(C)$ le sous-espace des éléments primitifs de C . On rappelle le fait remarquable, établi par Ronco [20], que les éléments primitifs d'une bigèbre dendriforme D forment une sous-algèbre brace de D_{Brace}^+ .

On aura besoin du lemme suivant dans les sections 5 et 6.

Lemme 5 Soient $(W, \prec, \succ, \Delta)$ une bigèbre dendriforme et x_1, \dots, x_n des éléments primitifs de W . Alors

$$\Delta(\nearrow(x_1, \dots, x_n)) = \sum_{i=0}^n \nearrow(x_1, \dots, x_i) \otimes \nearrow(x_{i+1}, \dots, x_n), \quad (24)$$

où on convient que $\nearrow() = 1$.

PREUVE : Par récurrence, à l'aide des formules (22) et (23), voir [20, 2.7], pour plus de détails. \square

Proposition 7 Si $W = \mathbb{K} \cdot 1 \oplus V$ est une bigèbre dendriforme, l'ensemble $\text{Prim}(W)$ des éléments primitifs de W est une sous-algèbre brace de V_{Brace} .

PREUVE : Il résulte aussitôt de la définition que $\text{Prim } W$ est contenu dans V . On renvoie à [20, Prop 2.8] pour la démonstration du fait que $\text{Prim } W$ est une sous-algèbre brace. \square

3.3 Lemmes

Les lemmes suivants, qui sont des conséquences directes des axiomes de bigèbre dendriforme, jouent un rôle crucial pour la suite.

Lemme 6 *Si $W = \mathbb{K} \cdot 1 \oplus V$ est une bigèbre dendriforme et $I \subset V$ un coidéale de W , alors l'idéal dendriforme de V engendré par I est un coidéale de W .*

PREUVE : Soit I un coidéale de W contenu dans V . Il résulte des formules (22) et (23) que $\mathfrak{s}(I) = I + V \prec I + I \prec V + V \succ I + I \succ V$ est aussi un coidéale de W contenu dans V . On définit par récurrence

$$\mathfrak{s}^n(I) := \mathfrak{s}(\mathfrak{s}^{n-1}(I)).$$

Les coidéaux $\mathfrak{s}^n(I)$ sont inclus dans V et forment une suite croissante. Soit alors $\mathfrak{S}(I)$ l'union des $\mathfrak{s}^n(I)$ pour $n \geq 1$. C'est encore un coidéale de W et il est clair que c'est l'idéal dendriforme de V engendré par I . Ceci termine la démonstration. \square

Lemme 7 *Soient $D_1 = \mathbb{K} \cdot 1 \oplus D_1^+$, $D_2 = \mathbb{K} \cdot 1 \oplus D_2^+$ deux bigèbres dendriformes et $f : D_1 \rightarrow D_2$ un morphisme d'algèbres dendriformes unitaires. Si D_1^+ est engendrée par V comme algèbre dendriforme et si $\Delta \circ f = (f \otimes f) \circ \Delta$ sur V , alors f est un morphisme de bigèbres dendriformes.*

PREUVE : On a clairement $\Delta(f(1)) = (f \otimes f)\Delta(1)$. Considérons le sous-espace

$$K := \{x \in D_1^+ \mid \Delta(f(x)) = (f \otimes f)\Delta(x)\}.$$

Par hypothèse, K contient V . On montre sans difficulté à l'aide des formules (22) et (23) que K est une sous-algèbre dendriforme de D_1^+ . Comme D_1^+ est engendrée par V , on a $K = D_1^+$, ce qui termine la démonstration. \square

3.4 Algèbres dendriformes libres

On montre que les algèbres dendriformes libres sont des bigèbres dendriformes. Ce résultat a également été obtenu par Maria Ronco [20]. On en présente ici une démonstration légèrement différente qui utilise la présence d'une unité. On considère l'algèbre dendriforme unitaire $\tilde{D}(V) := \mathbb{K} \cdot 1 \oplus D(V)$ où $D(V)$ est l'algèbre dendriforme libre sur V .

Le coproduit est celui introduit par Loday et Ronco dans [15] qui, *stricto sensu*, ne traite que le cas de l'algèbre libre sur un générateur. L'extension

des résultats de [15] au cas général est toutefois immédiate, voir [20] pour plus de détails. On obtient ainsi la description suivante du coproduit Δ .

Pour $x, y \in \tilde{D}(V)$ et $v \in V$, on pose d'abord

$$x \overset{v}{\vee} y = x \succ v \prec y.$$

Alors, le coproduit Δ vérifie, pour $x, y \in \tilde{D}(V)$ et $v \in V$,

$$\Delta(x \overset{v}{\vee} y) = (x \overset{v}{\vee} y) \otimes 1 + (x_{(1)} * y_{(1)}) \otimes (x_{(2)} \overset{v}{\vee} y_{(2)}), \quad (25)$$

et il est entièrement déterminé par ces relations et la condition $\Delta(1) = 1 \otimes 1$. On remarque que le second terme du membre de droite contient $1 \otimes (x \overset{v}{\vee} y)$.

Proposition 8 *L'algèbre dendriforme unitaire $\tilde{D}(V)$, munie du coproduit Δ , est une bigèbre dendriforme.*

PREUVE : On déduit de l'identité $x \succ (y \succ z) = (x * y) \succ z$ dans $D(V)$ la formule suivante, pour $x, w, z \in D(V)$ et $v \in V$:

$$x \succ (w \overset{v}{\vee} z) = (x * w) \overset{v}{\vee} z. \quad (26)$$

Elle est encore valable pour $x, w, z \in \tilde{D}(V)$.

Soient maintenant $x, y \in D(V)$. Comme on suppose que $y \in D(V)$, on peut écrire de manière unique $y = w \overset{v}{\vee} z$ avec $w, z \in \tilde{D}(V)$ et $v \in V$. On a alors

$$\begin{aligned} \Delta(x \succ y) &= \Delta(x \succ (w \overset{v}{\vee} z)) = \Delta((x * w) \overset{v}{\vee} z) \\ &= ((x * w) \overset{v}{\vee} z) \otimes 1 + ((x * w)_{(1)} * z_{(1)}) \otimes ((x * w)_{(2)} \overset{v}{\vee} z_{(2)}). \end{aligned}$$

Comme Δ est un morphisme d'algèbres associatives, ceci est égal à

$$((x * w) \overset{v}{\vee} z) \otimes 1 + (x_{(1)} * w_{(1)} * z_{(1)}) \otimes ((x_{(2)} * w_{(2)}) \overset{v}{\vee} z_{(2)}). \quad (27)$$

D'autre part, en utilisant la convention des termes fantômes en $1 \succ 1$ (voir Def. 3), on a

$$\begin{aligned} &(x_{(1)} * y_{(1)}) \otimes (x_{(2)} \succ y_{(2)}) - (x * y) \otimes (1 \succ 1) + (x \succ y) \otimes 1 = \\ &(x_{(1)} * (w \overset{v}{\vee} z)_{(1)}) \otimes (x_{(2)} \succ (w \overset{v}{\vee} z)_{(2)}) - (x * (w \overset{v}{\vee} z)) \otimes (1 \succ 1) + (x \succ (w \overset{v}{\vee} z)) \otimes 1 \\ &= (x * (w \overset{v}{\vee} z)) \otimes (1 \succ 1) + (x_{(1)} * w_{(1)} * z_{(1)}) \otimes (x_{(2)} \succ (w_{(2)} \overset{v}{\vee} z_{(2)})) \\ &\quad - (x * (w \overset{v}{\vee} z)) \otimes (1 \succ 1) + (x \succ (w \overset{v}{\vee} z)) \otimes 1 \\ &= ((x * w) \overset{v}{\vee} z) \otimes 1 + (x_{(1)} * w_{(1)} * z_{(1)}) \otimes ((x_{(2)} * w_{(2)}) \overset{v}{\vee} z_{(2)}). \quad (28) \end{aligned}$$

Ceci termine la preuve de la formule (22). La formule (23) s'en déduit par l'automorphisme de symétrie gauche-droite des arbres plans. \square

4 Foncteurs adjoints et suites exactes courtes

4.1 Foncteurs adjoints

La définition de l'algèbre dendriforme enveloppante passe d'abord par celle de l'adjoint à gauche du foncteur d'oubli $(\)_{\text{Brace}}$ qui associe à une algèbre dendriforme l'algèbre brace sous-jacente. La proposition suivante a pour vocation essentielle de rappeler la construction générale de ce type de foncteur adjoint, qui est sans difficulté et sans doute bien connue.

Proposition 9 *Soit $\gamma : \mathcal{P} \rightarrow \mathcal{Q}$ un morphisme d'opérades. Le foncteur d'oubli $\Gamma : \mathcal{Q} - \text{Alg} \rightarrow \mathcal{P} - \text{Alg}$ admet un adjoint à gauche, noté U_Γ .*

PREUVE : Soit P une \mathcal{P} -algèbre, on définit $U_\Gamma(P)$ comme le quotient de la \mathcal{Q} -algèbre libre sur P , notée $F_\mathcal{Q}P$, par le \mathcal{Q} -idéal engendré par les relations

$$\gamma(e_n)(p_1, \dots, p_n) - e_n(p_1, \dots, p_n) \quad (29)$$

pour tous $n \geq 1$, $e_n \in \mathcal{P}(n)$ et p_1, \dots, p_n dans P . On observe qu'il revient au même de quotienter par ces relations pour des e_n décrivant seulement un ensemble E de générateurs de \mathcal{P} .

Par construction, l'application naturelle de P dans $F_\mathcal{Q}P$ fournit un \mathcal{P} -morphisme τ_P de P dans $U_\Gamma(P)$. Il faut vérifier qu'il a bien la propriété universelle voulue.

Soient D une \mathcal{Q} -algèbre et $\phi : P \rightarrow \Gamma(D)$ un \mathcal{P} -morphisme. Alors ϕ se prolonge en un \mathcal{Q} -morphisme $\Phi : F_\mathcal{Q}P \rightarrow D$. Comme ϕ est un \mathcal{P} -morphisme, Φ se factorise en un \mathcal{Q} -morphisme $\bar{\Phi} : U_\Gamma(P) \rightarrow D$. On a clairement $\bar{\Phi} \circ \tau_P = \phi$. Un \mathcal{Q} -morphisme qui vérifie cette relation est unique, car $U_\Gamma(P)$ est engendrée comme \mathcal{Q} -algèbre par $\tau_P(P)$.

On a donc une bijection, donnée par la composition avec τ_P ,

$$\text{Hom}_{\mathcal{P}-\text{Alg}}(P, \Gamma(D)) \simeq \text{Hom}_{\mathcal{Q}-\text{Alg}}(U_\Gamma(P), D).$$

On vérifie sans peine que l'on obtient ainsi une équivalence de bifoncteurs. Ceci démontre la proposition. \square

La cas particulier qui nous intéresse ici est le suivant :

Corollaire 1 *Le foncteur $(\)_{\text{Brace}}$ de $\text{Dend} - \text{Alg}$ dans $\text{Brace} - \text{Alg}$ admet un adjoint à gauche, noté \mathcal{U} .*

Explicitement, si B est une algèbre brace, $\mathcal{U}(B)$ est le quotient de l'algèbre dendriforme libre $D(B)$ par l'idéal dendriforme engendré par les éléments

$$\psi(\text{Corl}_n)(x_1, x_2, \dots, x_{n+1}) - \text{Corl}_n(x_1, x_2, \dots, x_{n+1}), \quad (30)$$

pour $n \geq 2$ et $x_1, \dots, x_{n+1} \in B$.

Le cas des algèbres braces libres $B(V)$ est particulièrement simple. On le développe ici pour un usage ultérieur.

Lemme 8 *Les algèbres dendriiformes $U(B(V))$ et $D(V)$ sont isomorphes.*

PREUVE : Le foncteur d'oubli $\text{Dend} - \text{Alg} \rightarrow \text{Vect}_{\mathbb{K}}$ est la composée des foncteurs d'oubli $\text{Dend} - \text{Alg} \rightarrow \text{Brace} - \text{Alg}$ et $\text{Brace} - \text{Alg} \rightarrow \text{Vect}_{\mathbb{K}}$. Comme l'adjoint d'un foncteur composé est la composée des foncteurs adjoints, et que pour toute opérade \mathcal{P} , le foncteur \mathcal{P} -algèbre libre est adjoint au foncteur d'oubli de $\mathcal{P} - \text{Alg} \rightarrow \text{Vect}_{\mathbb{K}}$, on obtient le résultat. \square

4.2 Suites exactes courtes d'opérades

Soit P une \mathcal{P} -algèbre. Alors, l'ensemble \mathcal{J} des opérations de \mathcal{P} qui sont nulles dans P , c'est-à-dire le noyau du morphisme $\mathcal{P} \rightarrow \text{End}(P)$, forme un idéal (bilatère) au sens des opérades. On cherche ici sous quelles conditions la nullité de certaines opérations de \mathcal{P} sur P peut se déduire de leur nullité sur un sous-espace V de P engendrant P comme \mathcal{P} -algèbre.

On omettra ici les démonstrations des deux prochains lemmes, qui sont des exercices de manipulation des axiomes d'opérades, sans surprises. Le lemme suivant justifie l'introduction de la notion d'idéal à gauche.

Lemme 9 *Soit P une \mathcal{P} -algèbre et V un sous-espace de P . L'ensemble des opérations de \mathcal{P} nulles sur V forme un idéal à gauche de \mathcal{P} .*

Lemme 10 *Soit P une \mathcal{P} -algèbre, V un sous-espace de P qui engendre P comme \mathcal{P} -algèbre et \mathcal{J} un idéal de \mathcal{P} . Si les opérations de \mathcal{J} sont nulles sur V , elles sont nulles sur P .*

Soient \mathcal{P} une opérade augmentée, \mathcal{P}_+ son idéal d'augmentation et $\gamma : \mathcal{P} \rightarrow \mathcal{Q}$ un morphisme d'opérades. On note comme ci-dessus U_{Γ} l'adjoint du foncteur Γ de $\mathcal{Q} - \text{Alg}$ dans $\mathcal{P} - \text{Alg}$ induit par γ . On a alors la

Proposition 10 *On suppose que \mathcal{J} , l'idéal à gauche de \mathcal{Q} engendré par $\gamma(\mathcal{P}_+)$ est un idéal. On note \mathcal{C} l'opérade quotient de \mathcal{Q} par \mathcal{J} . Si P est une \mathcal{P} -algèbre annulée par \mathcal{P}_+ , alors $U_{\Gamma}(P)$ est une \mathcal{C} -algèbre, isomorphe à la \mathcal{C} -algèbre libre sur P .*

PREUVE : Soit τ l'inclusion de P dans $U_{\Gamma}(P)$. Il résulte de l'hypothèse et de la définition de $U_{\Gamma}(P)$ que les opérations $\gamma(\mathcal{P}_+)$ sont nulles sur $\tau(P)$. Donc, d'après le lemme 9, les opérations de \mathcal{J} sont nulles sur $\tau(P)$. Comme $U_{\Gamma}(P)$ est engendrée comme \mathcal{Q} -algèbre par $\tau(P)$ et comme, par hypothèse, \mathcal{J} est un idéal, il résulte du lemme 10 que les opérations de \mathcal{J} sont nulles sur $U_{\Gamma}(P)$. Par conséquent, $U_{\Gamma}(P)$ est une \mathcal{C} -algèbre.

Il reste à montrer que la \mathcal{C} -algèbre $U_{\Gamma}(P)$, possède la propriété universelle de la \mathcal{C} -algèbre libre sur P . Soit Z une \mathcal{C} -algèbre et $\phi : P \rightarrow Z$ un morphisme d'espaces vectoriels. Comme Z est aussi une \mathcal{Q} -algèbre, il existe un unique \mathcal{Q} -morphisme $\tilde{\phi} : F_{\mathcal{Q}}P \rightarrow Z$ prolongeant ϕ . Comme Z est une \mathcal{C} -algèbre, ce morphisme passe au quotient pour donner un \mathcal{Q} -morphisme $\bar{\phi} : U_{\Gamma}(P) \rightarrow Z$

tel que $\bar{\phi} \circ \tau = \phi$. Comme $U_\Gamma(P)$ et Z sont des \mathcal{C} -algèbres, $\bar{\phi}$ est un \mathcal{C} -morphisme. Enfin, un tel morphisme est unique, car P engendre $U_\Gamma(P)$ comme \mathcal{Q} -algèbre, donc aussi comme \mathcal{C} -algèbre. \square

5 Algèbre dendriforme enveloppante

5.1 Définition et coproduit

On définit l'*algèbre dendriforme enveloppante* d'une algèbre brace B , notée $\tilde{\mathcal{U}}(B)$, comme l'algèbre dendriforme unitaire associée à $\mathcal{U}(B)$.

Proposition 11 *$\tilde{\mathcal{U}}(B)$ est une bigèbre dendriforme.*

PREUVE : Comme $\text{Prim}(\tilde{D}(B))$ est une sous Brace-algèbre de $D(B)$, les éléments apparaissant dans (30) appartiennent à $\text{Prim}(\tilde{D}(B))$, et donc forment un coidéale de $\tilde{D}(B)$. Par le lemme 6, l'idéal dendriforme de $D(B)$ engendré par ces éléments est encore un coidéale de $\tilde{D}(B)$, donc la structure de bigèbre dendriforme de $\tilde{D}(B)$ passe au quotient. \square

On note $B(V)$ l'algèbre brace libre sur un espace vectoriel V .

Par le lemme 8, l'algèbre dendriforme enveloppante $\tilde{\mathcal{U}}(B(V))$ est isomorphe à $\tilde{D}(V)$. On retrouve ainsi la bigèbre dendriforme des arbres binaires plans, dans la terminologie de [15], voir le paragraphe 3.4.

5.2 Cas des algèbres braces de produits nuls

On appelle algèbre brace triviale une algèbre brace dont tous les produits $\{ \cdot | \cdot \}_n$ sont nuls.

On donne une description en termes d'objets classiques de l'algèbre dendriforme enveloppante d'une algèbre brace triviale.

On note $T^c(V)$ la cogèbre tensorielle sur V , voir [19, 1.4,1.5] pour la définition. On rappelle que $T^c(V)$ possède une structure de bigèbre, où le coproduit est donné par la déconcatenation et le produit commutatif par les battages, et telle que $\text{Prim}(T^c(V)) = V$, cf [19, loc. cit.]. On rappelle deux propriétés classiques : $T^c(V)$ est la cogèbre coassociative connexe colibre sur V et $T^c(V)$ est duale au sens gradué de l'algèbre tensorielle $T(V)$.

On note $\tilde{Z}(V)$ la Zin-algèbre unitaire $\mathbb{K} \cdot 1 \oplus Z(V)$. D'après [14, 7.1], $\tilde{Z}(V)_{\text{Com}}$ s'identifie comme algèbre commutative à $T^c(V)$. Par conséquent, $T^c(V)$ est naturellement une algèbre dendriforme symétrique et $\tilde{Z}(V)_{\text{Com}}$ une bigèbre.

Soit maintenant V une algèbre brace triviale. On a alors la description suivante de $\tilde{\mathcal{U}}(V)$:

Proposition 12 *Soit V une algèbre brace triviale.*

- Il existe un unique isomorphisme d'algèbres dendriformes unitaires $\theta : \tilde{\mathcal{U}}(V) \rightarrow \tilde{\mathcal{Z}}(V)$ qui est l'identité sur V .
- De plus, θ est un isomorphisme de cogèbres.

PREUVE : Par la proposition 6, on peut appliquer la proposition 10 au morphisme $\psi : \text{Brace} \rightarrow \text{Dend}$. Par la proposition 5, l'opétrade quotient est Zin . Par la proposition 10, il existe donc un unique isomorphisme dendriforme de $\mathcal{U}(V)$ dans $\mathcal{Z}(V)$ qui est l'identité sur V . Par le lemme 4, ce morphisme se relève de manière unique en un isomorphisme d'algèbres dendriformes unitaires de $\tilde{\mathcal{U}}(V)$ dans $\tilde{\mathcal{Z}}(V)$. On obtient la première assertion.

Il reste à vérifier que le coproduit sur $\tilde{\mathcal{U}}(V)$ défini par la proposition 11 coïncide avec le coproduit de déconcaténation sur $\tilde{\mathcal{Z}}(V) = T^c(V)$. Explicitons pour cela l'unique Zin -morphisme de $\mathcal{Z}(V)$ dans $\mathcal{U}(V)$ qui fixe V . On montre sans difficulté que l'image du tenseur $x_1 \otimes x_2 \otimes \cdots \otimes x_n$ est la classe de l'élément $\nearrow(x_1, \dots, x_n)$.

Il résulte alors du lemme 5 que le coproduit sur $\tilde{\mathcal{U}}(V)$ correspond par l'isomorphisme à la déconcaténation dans $\tilde{\mathcal{Z}}(V)$. \square

On en déduit immédiatement le corollaire suivant, qui a aussi été noté par Ronco [20].

Corollaire 2 *Il existe sur $T^c(V)$ une structure de bigèbre dendriforme dont la structure de bigèbre sous-jacente est la structure usuelle de la bigèbre des battages.*

6 Une équivalence de catégories

On montre dans cette section que le foncteur $\tilde{\mathcal{U}}$ est une équivalence de la catégorie des algèbres braces dans celle des bigèbres dendriformes connexes, de quasi-inverse le foncteur Prim . Ceci forme un équivalent dendriforme/brace du théorème de Cartier-Milnor-Moore-Quillen sur les bigèbres cocommutatives connexes et les algèbres de Lie [17, 18].

On dit qu'une bigèbre dendriforme sur \mathbb{K} est connexe si la cogèbre sous-jacente est connexe au sens de Quillen [18], c'est-à-dire si le coradical est \mathbb{K} et si la filtration par le coradical est exhaustive.

Soit D une bigèbre dendriforme et notons B le sous-espace des éléments primitifs de D . D'après la proposition 7, B est une sous-algèbre brace de D_{Brace}^+ . Par conséquent, d'après la propriété d'adjonction du foncteur \mathcal{U} , on obtient un morphisme d'algèbres dendriformes de $\mathcal{U}(B)$ dans D^+ , qu'on relève en un morphisme d'algèbres dendriformes unitaires θ de $\tilde{\mathcal{U}}(B)$ dans D . On a la proposition suivante.

Proposition 13 *θ est un morphisme de cogèbres.*

PREUVE : La restriction de θ à B vérifie $\Delta \circ \theta = 1 \otimes \theta + \theta \otimes 1 = (\theta \otimes \theta) \circ \Delta$. Comme B engendre $\mathcal{U}(B)$ comme algèbre dendriforme, le lemme 7 permet de conclure. \square

On rappelle le lemme classique suivant.

Lemme 11 *Soit $f : C \rightarrow C'$ un morphisme de cogèbres. Si C est connexe et si f restreint aux primitifs de C est injectif, alors f est injectif.*

PREUVE : Voir [18, Appendice B, Prop. 3.2] ou [1, Th. 2.4.11]. \square

La proposition suivante joue un rôle crucial dans la suite.

Proposition 14 *Soit B une algèbre brace, alors $\tilde{\mathcal{U}}(B)$ est isomorphe comme cogèbre à $T^c(B)$. Par conséquent, $\text{Prim}\tilde{\mathcal{U}}(B) = B$.*

PREUVE : On définit une application linéaire f de $T^c(B)$ dans $\tilde{\mathcal{U}}(B)$ par $f(x_1 \otimes \cdots \otimes x_n) = \nearrow(x_1, \dots, x_n)$. Par le lemme 5, f est un morphisme de cogèbres. Comme la cogèbre $T^c(B)$ est connexe et f injectif sur B , le lemme 11 entraîne que f est injectif.

D'autre part, la bigèbre dendriforme $\tilde{\mathcal{U}}(B)$ hérite comme quotient de $\tilde{D}(B)$ d'une structure de bigèbre dendriforme filtrée. En notant \mathcal{J} le noyau du morphisme $\tilde{D}(B) \rightarrow \tilde{\mathcal{U}}(B)$, c'est-à-dire l'idéal dendriforme de $D(B)$ engendré par les $\psi(\text{Corl}_n) - \text{Corl}_n$, on voit aussitôt que l'idéal $gr\mathcal{J}$ de $D(B) = grD(B)$ contient les éléments $\psi(\text{Corl}_n)$. Par conséquent, $gr\tilde{\mathcal{U}}(B)$ est un quotient de $\tilde{\mathcal{U}}(B_0)$, où B_0 désigne B munie de la structure brace nulle. Comme $\tilde{\mathcal{U}}(B_0) \simeq T^c(B)$ comme bigèbre dendriforme, il en résulte que $gr\tilde{\mathcal{U}}(B)$ est engendré comme espace vectoriel par les éléments $\nearrow(x_1, \dots, x_n)$. Par conséquent, $\tilde{\mathcal{U}}(B)$ est aussi engendré comme espace vectoriel par ces éléments, donc f est surjective. \square

On peut maintenant démontrer la proposition suivante. La preuve s'inspire de celle donnée par Quillen dans [18, Appendice B, Th. 4.5].

Proposition 15 *Soit D une bigèbre dendriforme supposée connexe comme cogèbre et $B := \text{Prim}(D)$ l'algèbre brace des primitifs de D . Alors on a un isomorphisme naturel de bigèbres dendriformes $\tilde{\mathcal{U}}(B) \rightarrow D$.*

PREUVE : Il s'agit de montrer que le morphisme de bigèbres dendriformes naturel θ de $\tilde{\mathcal{U}}(B)$ dans D est bijectif.

Comme $\tilde{\mathcal{U}}(B) \simeq T^c(B)$ comme cogèbre, $\tilde{\mathcal{U}}(B)$ est connexe. Comme θ est injectif sur B , θ est injectif par le lemme 11. Par conséquent, en choisissant arbitrairement un supplémentaire de $\tilde{\mathcal{U}}(B)$ dans D , on voit qu'il existe une application linéaire $\pi : D \rightarrow B$ telle que $\pi \circ \theta$ soit la projection canonique $p : \tilde{\mathcal{U}}(B) \rightarrow B$. Mais, comme $\tilde{\mathcal{U}}(B) \simeq T^c(B)$ comme cogèbre, elle a la propriété universelle de la cogèbre connexe colibre, c'est-à-dire il existe un unique morphisme de cogèbres $g : D \rightarrow \tilde{\mathcal{U}}(B)$ tel que $p \circ g = \pi$. Comme D est connexe par hypothèse et que g restreint aux primitifs B de D est injectif, g est injectif par le lemme 11.

D'autre part, $g \circ \phi$ est un endomorphisme de la cogèbre $\tilde{\mathcal{U}}(B)$ tel que $g \circ \phi \circ p = p$, donc par la propriété universelle, $g \circ \phi = \text{Id}$, donc g est aussi surjectif. On conclut que g est bijectif d'inverse ϕ , donc ϕ est un isomorphisme de bigèbres dendriformes, ce qui termine la démonstration. \square

En combinant les propositions 14 et 15, on obtient le théorème principal.

Théorème 1 *Le foncteur $B \mapsto \tilde{\mathcal{U}}(B)$ est une équivalence entre la catégorie des algèbres braces et celle des bigèbres dendriformes connexes, le foncteur quasi-inverse étant $D \mapsto \text{Prim}(D)$.*

Remerciements. Je voudrais remercier ici Jim Stasheff pour son intérêt et ses remarques, et mon directeur de thèse Patrick Polo pour son soutien constant et ses suggestions sur la dernière partie.

Références

- [1] Eiichi Abe. *Hopf algebras*. Cambridge University Press, Cambridge, 1980.
- [2] Füsün Akman. Multibraces on the Hochschild complex. preprint math.QA/9702010, 1996.
- [3] Füsün Akman. A master identity for homotopy Gerstenhaber algebras. *Comm. Math. Phys.*, 209(1) :51–76, 2000.
- [4] Frédéric Chapoton and Muriel Livernet. Pre-Lie algebras and the rooted trees operad. preprint, math.QA 0002069.
- [5] Murray Gerstenhaber. The cohomology structure of an associative ring. *Ann. of Math. (2)*, 78 :267–288, 1963.
- [6] Murray Gerstenhaber and Alexander A. Voronov. Homotopy G -algebras and moduli space operad. *Internat. Math. Res. Notices*, 1995(3) :141–153.
- [7] Murray Gerstenhaber and Alexander A. Voronov. Higher-order operations on the Hochschild complex. *Funktsional. Anal. i Prilozhen.*, 29(1) :1–6, 96, 1995.
- [8] Ezra Getzler. Cartan homotopy formulas and the Gauss-Manin connection in cyclic homology. In *Quantum deformations of algebras and their representations (Ramat-Gan, 1991/1992 ; Rehovot, 1991/1992)*, pages 65–78. Bar-Ilan Univ., Ramat Gan, 1993.
- [9] Tornike V. Kadeishvili. The structure of the $A(\infty)$ -algebra, and the Hochschild and Harrison cohomologies. *Trudy Tbiliss. Mat. Inst. Razmadze Akad. Nauk Gruzin. SSR*, 91 :19–27, 1988.

- [10] Maxim Kontsevich. On the algebraic structure of the Hochschild complex. Séminaire Groupes Quantiques, Ecole Polytechnique, 27 octobre 1998.
- [11] Maxim Kontsevich and Yan Soibelman. Deformations of algebras over operads and Deligne’s conjecture. preprint QA/0001151, january 2000.
- [12] Jean-Louis Loday. Algèbres ayant deux opérations associatives (digèbres). *C. R. Acad. Sci. Paris Sér. I Math.*, 321(2) :141–146, 1995.
- [13] Jean-Louis Loday. Overview on Leibniz algebras, dialgebras and their homology. In *Cyclic cohomology and noncommutative geometry (Waterloo, ON, 1995)*, pages 91–102. Amer. Math. Soc., Providence, RI, 1997.
- [14] Jean-Louis Loday. Dialgebras. Prépublication de l’IRMA (Strasbourg) Vol. 14, 1999.
- [15] Jean-Louis Loday and Maria O. Ronco. Hopf algebra of the planar binary trees. *Advances in Math.*, 139(2) :293–309, 1998.
- [16] J. Peter May. Definitions : operads, algebras and modules. In *Operads : Proceedings of Renaissance Conferences (Hartford, CT/Luminy, 1995)*, pages 1–7, Providence, RI, 1997. Amer. Math. Soc.
- [17] John W. Milnor and John C. Moore. On the structure of Hopf algebras. *Ann. of Math. (2)*, 81 :211–264, 1965.
- [18] Daniel Quillen. Rational homotopy theory. *Ann. of Math. (2)*, 90 :205–295, 1969.
- [19] Christophe Reutenauer. *Free Lie algebras*. The Clarendon Press Oxford University Press, New York, 1993. Oxford Science Publications.
- [20] María Ronco. Primitive elements in a free dendriform algebra. In *Proceedings of the Conference Quantum Groups of La Falda, Argentina (sept. 99).*, 99.
- [21] Èrnest B. Vinberg. The theory of homogeneous convex cones. *Trudy Moskov. Mat. Obšč.*, 12 :303–358, 1963.

Frédéric CHAPOTON

Équipe Analyse algébrique, case 82

Institut de Mathématiques, Université Pierre et Marie Curie

4, Place Jussieu, 75252 Paris Cedex 05, FRANCE

Mel. : chapoton@math.jussieu.fr